

УДК 539.3

ТЕОРИЯ УПРУГОСТИ

З. А. Мартиросян

Об одной контактной задаче для двух упругих
 конечных цилиндров

(Представлено чл. корр. АН Армянской ССР Б. Л. Абрамяном 4/III 1980)

В настоящей работе рассматривается осесимметричная контактная задача теории упругости для двух цилиндров, имеющих конечные длины и одинаковые диаметры. Цилиндры контактируют между собой торцами, и один из них по нижней торцевой плоскости закреплен. На боковой поверхности нижнего цилиндра нормальные перемещения и касательные напряжения равны нулю, а боковая поверхность верхнего цилиндра свободна от напряжений. Контакт между цилиндрами принимается гладким, а зона контакта двух цилиндров считается неизвестной. На верхнем торце верхнего цилиндра приложена осесимметричная сжимающая нагрузка таким способом, что контактная область образуется в виде круга. Решение рассматриваемой задачи представляется в виде суммы рядов Фурье и Фурье — Дини с неизвестными коэффициентами, для определения которых получены бесконечная система линейных уравнений и система парных рядов-уравнений, содержащих функции Бесселя, решение которой сводится к решению квази-вполне регулярных бесконечных систем линейных алгебраических уравнений. Окончательные выражения для контактных напряжений получены с выделенной особенностью. Получены также формулы для определения напряжений на поверхности контакта между цилиндром и основанием. Для частных значений внешней нагрузки, упругих постоянных и размеров цилиндров вычислены размеры области контакта и напряжения в контактных зонах.

Подробная библиография по этому вопросу приводится в работе (1).

Для решения описанной задачи величины, относящиеся к верхнему цилиндру, будем отмечать индексом 1, а к нижнему — индексом 2.

Граничные условия и условия контакта рассматриваемой задачи имеют вид

$$\sigma_z^{(1)}(r, l_1) = \begin{cases} F(r) & 0 \leq r < a \\ 0 & a < r < R \end{cases} = a_0 + \sum_{k=1}^{\infty} a_k J_0(\beta_k r), \quad \tau_{rz}^{(1)}(r, l_1) = 0; \quad (1.1)$$

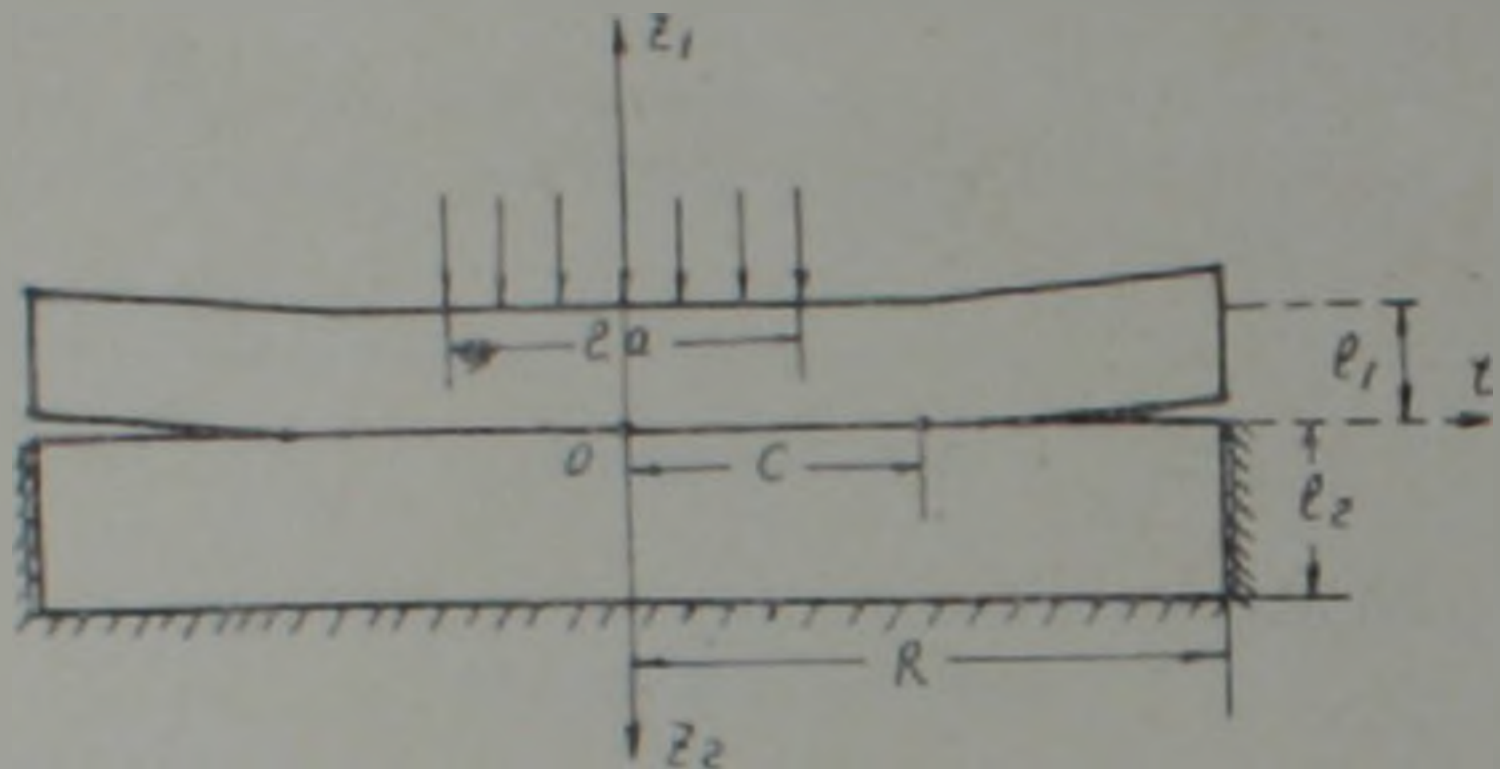


Рис. 1. Два цилиндра одинаковой длины и одинакового диаметра. На верхнем торце верхнего цилиндра приложена осесимметричная сжимающая нагрузка

$$u_z^{(2)}(r, l_2) = u_r^{(2)}(r, l_2) = 0; \quad (1.2)$$

$$\varepsilon_z^{(1)}(R, z) = \varepsilon_{rz}^{(1)}(R, z) = u_r^{(2)}(R, z) = 0; \quad (1.3)$$

$$\tau_{rz}^{(1)}(r, 0) = 0 \quad \sigma_z^{(1)}(r, 0) = \sigma_z^{(2)}(r, 0); \quad (1.4)$$

$$\begin{cases} u_z^{(1)}(r, 0) = -u_z^{(2)}(r, 0) & (0 \leq r < c \\ \sigma_z^{(1)}(r, 0) = 0 & (c < r < R) \end{cases} \quad (1.5)$$

Здесь принято, что $F(r)$ кусочно-непрерывная и ограниченная функция на заданном интервале и может быть представлена в виде ряда Фурье — Дини, l_1 — длины, R — радиус цилиндров, $J_n(x)$ — функция Бесселя действительного аргумента первого рода, а β_k — положительные корни уравнения $J_1(\beta_k R) = 0$

Функции напряжения Лява ищем в виде (2)

$$\begin{aligned} \Phi^{(1)}(r, z) = & z(A_1 r^2 + B_1 z^2 + C_1 z) + \sum_{k=1}^{\infty} [E_k^{(1)} J_0(i_{k1} r) + G_k^{(1)} i_{k1} r J_1(i_{k1} r)] \sin i_{k1} z + \\ & + \sum_{k=1}^{\infty} (A_k^{(1)} \operatorname{sh} \beta_k z + B_k^{(1)} \operatorname{ch} \beta_k z + C_k^{(1)} \beta_k z \operatorname{sh} \beta_k z + D_k^{(1)} \beta_k z \operatorname{ch} \beta_k z) J_0(\beta_k r), \quad (1.6) \end{aligned}$$

где $J_n(x)$ — функция Бесселя первого рода от мнимого аргумента, а $i_{k1} = k\pi/l_1$.

Пользуясь обычными формулами (2) и вычисляя при помощи (1.6) напряжения и перемещения, удовлетворим далее условиям (1.1) — (1.5); введя также обозначения

$$\sigma_{k1}^{(1)} G_k^{(1)} J_1(i_{k1} R) = Y_k; \quad -A_k^{(1)} + (1 - 2\nu_1) D_k^{(1)} = \frac{X_k}{\beta_k}, \quad (1.7)$$

получим следующие соотношения:

$$A_1 = \frac{\nu_1}{2(1+\nu_1)} a_0; \quad B_1 = \frac{1-2\nu_1}{6(1+\nu_1)} a_0; \quad (1.8)$$

$$B_2 = \frac{1}{6(1-\nu_2)} a_0; \quad C_2 = -\frac{l_2}{1-\nu_2} a_0; \quad A_2 = E_k^{(2)} = G_k^{(2)} = 0;$$

$$\Delta_k^{(1)} C_k^{(1)} = -(\operatorname{sh} \mu_{k1} \operatorname{ch} \mu_{k1} + \mu_{k1}) \frac{X_k}{\beta_k^2} - \frac{4(\mu_{k1} \operatorname{ch} \mu_{k1} + \operatorname{sh} \mu_{k1})}{\beta_k R J_0(\beta_k R)} \sum_{p=1}^{\infty} \frac{(-1)^{p+1} Y_p}{(\nu_{p1} + \beta_k^2)^2} + (\mu_{k1} \operatorname{ch} \mu_{k1} + \operatorname{sh} \mu_{k1}) \frac{a_k}{\beta_k} \quad (1.9)$$

$$\Delta_k^{(1)} D_k^{(1)} = \operatorname{sh}^2 \mu_{k1} \frac{X_k}{\beta_k^2} + \frac{4\mu_{k1} \operatorname{sh} \mu_{k1}}{\beta_k R J_0(\beta_k R)} \sum_{p=1}^{\infty} \frac{(-1)^{p+1} Y_p}{(\nu_{p1} + \beta_k^2)^2} - \mu_{k1} \operatorname{sh} \mu_{k1} \frac{a_k}{\beta_k^2};$$

$$\Delta_k^{(2)} C_k^{(2)} = \left| (3-4\nu_2) \operatorname{sh} \mu_{k2} \operatorname{ch} \mu_{k2} - \mu_{k2} \right| \left(\frac{X_k}{\beta_k^2} + \frac{4}{\beta_k R J_0(\beta_k R)} \sum_{p=1}^{\infty} \frac{Y_p}{(\nu_{p1} + \beta_k^2)^2} \right); \quad (1.10)$$

$$\Delta_k^{(2)} D_k^{(2)} = \left| (3-4\nu_2) \operatorname{sh}^2 \mu_{k2} + 2(1-\nu_2) \right| \left(\frac{X_k}{\beta_k^2} + \frac{4}{\beta_k R J_0(\beta_k R)} \sum_{p=1}^{\infty} \frac{Y_p}{(\nu_{p1} + \beta_k^2)^2} \right);$$

$$Y_k = \frac{4i_{k1}}{l_2 R} \sum_{p=1}^{\infty} \frac{\beta_p J_1(\beta_p R) [(-1)^k (C_p^{(1)} \operatorname{ch} \mu_{p1} + D_p^{(1)} \operatorname{sh} \mu_{p1}) - C_p^{(1)}]}{(\nu_{p1} + \beta_k^2)^2} \quad (1.11)$$

а также систему парных рядов-уравнений, содержащих функции Бесселя

$$q_0 + \sum_{k=1}^{\infty} (1+M_k) \frac{X_k}{\beta_k} J_0(\beta_k r) = \sum_{k=1}^{\infty} N_k J_0(\beta_k r) \quad 0 \leq r < c; \quad (1.12)$$

$$a_0 + \sum_{k=1}^{\infty} X_k J_0(\beta_k r) = \sum_{k=1}^{\infty} P_k J_0(\beta_k r) \quad c < r < R,$$

где введены обозначения

$$\Delta_k^{(1)} = \operatorname{sh}^2 \mu_{k1} - \mu_{k1}; \quad \Delta_k^{(2)} = (3-4\nu_2) \operatorname{sh}^2 \mu_{k2} + \mu_{k2}^2 + 4(1-\nu_2)^2;$$

$$\mu_{k1} = \beta_k l_1; \quad \varphi_k = \lambda_{k1} R = \frac{I_0(\lambda_{k1} R)}{I_1(\lambda_{k1} R)} \lambda_{k1} R + \frac{2(1-\nu_1)}{\lambda_{k1} R};$$

$$z = \frac{1-\nu_1}{1-\nu_1 + G(1-\nu_2)}; \quad M_k = z M_k^{(1)} + (1-z) M_k^{(2)};$$

$$q_0 = -\frac{(1-2\nu_1)C_1 + G(1-2\nu_2)C_2}{1-\nu_1 + G(1-\nu_2)};$$

$$\Delta_k^{(2)} M_k^{(2)} = (3-4\nu_2) \operatorname{sh} \mu_{k2} (\operatorname{ch} \mu_{k2} - \operatorname{sh} \mu_{k2}) - \mu_{k2} (1 + \mu_{k2}) - 4(1-\nu_2)^2; \quad (1.13)$$

$$\Delta_k^{(1)} M_k^{(1)} = \operatorname{sh} \mu_{k1} (\operatorname{ch} \mu_{k1} - \operatorname{sh} \mu_{k1}) + \mu_{k1} (1 + \mu_{k1}); \quad P_k = -\frac{4\beta_k}{R J_0(\beta_k R)} \sum_{p=1}^{\infty} \frac{Y_p}{(\nu_{p1} + \beta_k^2)^2};$$

$$N_k = - \frac{4\beta_k}{R J_0(\beta_k R)} \left[\frac{\alpha F_k^{(1)}}{\Delta_k^{(1)}} \sum_{p=1}^{\infty} \frac{(-1)^{p+1} Y_p}{(\lambda_{p1}^2 + \beta_k^2)^2} + \frac{(1-\alpha) W_k^{(2)}}{\Delta_k^{(2)}} \sum_{p=1}^{\infty} \frac{\lambda_{p1} Y_p}{(\lambda_{p1}^2 + \beta_k^2)^2} \right] + \frac{\alpha F_k^{(1)} a_k}{\Delta_k^{(1)} \beta_k};$$

$$G = \frac{G_1}{G_2}; \quad F_k^{(1)} = \mu_{k1} \operatorname{ch} \mu_{k1} + \operatorname{sh} \mu_{k1}; \quad W_k^{(2)} = (3 - 4\nu_2) \operatorname{sh} \mu_{k2} \operatorname{ch} \mu_{k2} - \mu_{k2};$$

G_1 — модуль сдвига, а ν_i — коэффициенты Пуассона.
Представляя X_k в виде

$$X_k = P_k + \frac{1}{(\beta_k c)^{1/2} J_0^2(\beta_k R)} \sum_{n=0}^{\infty} b_n J_{2n+1/2}(\beta_k c), \quad (k = 0, 1, \dots) \quad \beta_0 = 0 \quad (1.14)$$

и применяя известные методы решения парных рядов-уравнений (1.13), решения уравнений (1.12) сводятся к решению следующей бесконечной системы линейных алгебраических уравнений:

$$b_s = \sum_{n=0}^{\infty} a_{sn} b_n + \sum_{n=1}^{\infty} c_{sn} Y_n + d_s \quad (s = 1, 2, \dots), \quad (1.15)$$

где

$$a_{sn} = -2(4s+1) \left[\frac{(-1)^{n+1}}{\pi} \int_0^{\pi} \frac{K_1(y) J_{2n-1/2}(\frac{cy}{k}) J_{2s+1/2}(\frac{cy}{k})}{y I_2(y)} dy + \frac{1}{R^2} \sum_{k=1}^{\infty} \frac{M_k J_{2n+1/2}(\beta_k c) J_{2s+1/2}(\beta_k c)}{\beta_k^2 J_0^2(\beta_k R)} \right] \quad b_0 = \sqrt{\frac{\pi}{2}} a_0; \quad (1.16)$$

$$c_{sn} = - \frac{8(4s+1) \sqrt{c_2}}{R^2} \sum_{k=1}^{\infty} \frac{\beta_k^{1/2}}{J_0(\beta_k R)} \frac{(-1)^n F_k^{(1)} - H_k^{(1)}}{\Delta_k^{(1)} (\lambda_{k1}^2 + \beta_k^2)^2} \lambda_{k1} J_{2n+1/2}(\beta_k c);$$

$$d_s = \frac{2(4s+1) \sqrt{c_2}}{R^2} \sum_{k=1}^{\infty} \frac{F_k^{(1)} a_k J_{2s+1/2}(\beta_k c)}{\Delta_k^{(1)} \beta_k^{1/2}} \quad H_k^{(1)} = \operatorname{sh} \mu_{k1} \operatorname{ch} \mu_{k1} + \mu_{k1};$$

$K_n(x)$ — функция Бесселя от мнимого аргумента второго рода.

Подставляя значения $C_k^{(1)}$ и $D_k^{(1)}$ в (1.11) и имея в виду (1.14), получим бесконечную систему линейных алгебраических уравнений

$$Y_n = \sum_{s=0}^{\infty} a_{sn} b_s + \sum_{s=1}^{\infty} c_{sn} Y_s + A_n, \quad (1.17)$$

где

$$a_{sn} = \frac{4\lambda_{s1}^2}{I_1 c^{1/2} \varphi_s} \sum_{p=1}^{\infty} \frac{\beta_p^{1/2} [H_p^{(1)} - (-1)^s F_p^{(1)}]}{J_0(\beta_p R) \Delta_p^{(1)} (\lambda_{p1}^2 + \beta_p^2)^2} J_{2n-1/2}(\beta_p c);$$

$$c_{sn} = \frac{16\lambda_{s1}^2}{I_1 R \varphi_s} \sum_{p=1}^{\infty} \frac{\beta_p^2 \{ [(-1)^s F_p^{(1)} - H_p^{(1)}] + [F_p^{(1)} - (-1)^s H_p^{(1)}] (-1)^s \}}{\Delta_p^{(1)} (\lambda_{p1}^2 + \beta_p^2)^2 (\lambda_{s1}^2 + \beta_p^2)^2} \lambda_{s1}; \quad (1.18)$$

$$A_k = \frac{4\beta_k^2}{l_1 \varphi_k} \sum_{p=1}^{\infty} \frac{\beta_p J_0(\beta_p R)}{(\beta_{k1}^2 + \beta_p^2)^2} \cdot \frac{(-1)^p H_{2p}^{(1)} - F_{2p}^{(1)}}{\Delta_k^{(1)}} a_{2p}$$

Бесконечные системы линейных уравнений (1.15) и (1.17) квази- вполне регулярны.

Квази вполне регулярность систем (1.15) и (1.17) доказывается аналогично тому, как это сделано в работе (1).

После решения бесконечных систем (1.15) и (1.17) из первого уравнения (1.12) при фиксированных r определяется q_0 , а при помощи (1.13) — C_1 .

Подставив значения λ_k по формуле (1.14) во второй ряд (1.12), для контактного нормального напряжения получим следующее выражение (1):

$$\sigma_{rz}^{(2)}(r, 0) = a_0 + \frac{R^2(c^2 - r^2)^{-1/2}}{\sqrt{2}c} \sum_{n=0}^{\infty} b_n \frac{n! F\left(-n, n+1/2, 1, \frac{r^2}{c^2}\right)}{\Gamma(n+1/2)} \quad 0 \leq r < c, \quad (1.19)$$

где $\Gamma(x)$ — гамма-функция, $F(\alpha, \beta, \gamma, x)$ — гипергеометрический ряд, а для нормального напряжения $\sigma_{rz}^{(2)}(r, l_2)$ и касательного напряжения $\tau_{rz}^{(2)}(r, l_2)$ получим следующие соотношения:

$$\begin{aligned} \sigma_{rz}^{(2)}(r, l_2) = & a_0 + 2(1-\nu_2) \sum_{k=1}^{\infty} \frac{\mu_{k2} \operatorname{sh} \mu_{k2} l_2 - 2(1-\nu_2) \operatorname{ch} \mu_{k2} l_2}{\Delta_k^{(2)}} \left| \frac{1}{(\beta_k c)^{1/2} J_0^2(\beta_k R)} \right. \\ & \left. + \sum_{n=0}^{\infty} b_n J_{2n+1/2}(\beta_k c) + \frac{4\beta_k^2}{R J_0(\beta_k R)} \sum_{p=1}^{\infty} \frac{\lambda_{p1} Y_p}{(i_{p1}^2 + \beta_k^2)^2} \right| J_1(\beta_k r); \quad (1.20) \end{aligned}$$

$$\begin{aligned} \tau_{rz}^{(2)}(r, l_2) = & 2(1-\nu_2) \sum_{k=1}^{\infty} \frac{\mu_{k2} \operatorname{ch} \mu_{k2} l_2 - (1-2\nu_2) \operatorname{sh} \mu_{k2} l_2}{\Delta_k^{(2)}} \left| \frac{1}{(\beta_k c)^{1/2} J_0^2(\beta_k R)} \right. \\ & \left. + \sum_{n=0}^{\infty} b_n J_{2n+1/2}(\beta_k c) + \frac{4\beta_k^2}{R J_0(\beta_k R)} \sum_{p=1}^{\infty} \frac{\lambda_{p1} Y_p}{(i_{p1}^2 + \beta_k^2)^2} \right| J_1(\beta_k r). \quad (1.21) \end{aligned}$$

Неизвестную величину c можно определить из условия равенства нулю контактного напряжения на границе области контакта, что равносильно условию

$$\sum_{n=0}^{\infty} (-1)^n b_n = 0. \quad (1.22)$$

Численные примеры. В частности, рассмотрим два цилиндра одинаковой длины и одинакового диаметра, изготовленных из различных материалов. На верхнем торце верхнего цилиндра приложена осесимметричная сжимающая нагрузка (рис. 1).

$$\sigma_{rz}^{(1)}(r, l_1) = \begin{cases} -p & 0 < r < a \\ 0 & a < r < R \end{cases} = -\frac{a^2}{R^2} p - \frac{2ap}{R^2} \sum_{k=1}^{\infty} \frac{J_1(\beta_k a) J_0(\beta_k r)}{\beta_k J_0^2(\beta_k R)} \quad (2.1)$$

Целью вычислений является определение размеров области кон-

такта и величины контактного нормального напряжения. Для этого предварительно необходимо найти зависимость радиуса контактной области c от l . Но это связано с большим объемом вычислений. Во избежание отмеченных трудностей в работе задаются значения c и ($l_1 = l_2 = l$) и при заданных значениях упругих характеристик материалов определяется a .

После определения радиуса c области контакта таким образом по формулам (1.19)–(1.21) вычислены контактные напряжения для каждого c , соответствующего заданному радиусу круга распределенных внешних нагрузок.

Вычисления проведены для значений $l/R = 0,2; 0,25; \nu_1 = 0,1; 0,3; 0,4, \nu_2 = 0,1; 0,3; 0,4, c/R = 0,3; 0,35; 0,4; 0,5; \dots; 1, G = 0,5; 1; 10$.

Значения размеров зоны действия внешней равномерно распределенной нагрузки (a) при $l/R = 0,2, G = 0,5, \nu_1 = \nu_2 = 0,1, \nu_2 = 0,3, \nu_1 = 0,1, \nu_1 = 0,3, \nu_2 = 0,1, c/R = 0,3, 0,5, 0,7, 1$ приведены в таблице.

$\frac{a}{R} \cdot 10^{-4}$			
	$\nu_1 = 0,1$ $\nu_2 = 0,1$	$\nu_1 = 0,1$ $\nu_2 = 0,3$	$\nu_1 = 0,3$ $\nu_2 = 0,1$
0,3	1445	1605	1238
0,5	3937	3984	3871
0,7	6029	6064	5967
1	9334	9351	9293

Распределение нормального напряжения $\sigma_z(r, 0)$ на поверхности контакта двух цилиндров и распределение напряжений $\sigma_r^{(2)}(r, l_2)$ на поверхности контакта между нижним цилиндром и основанием при $\nu_1 = \nu_2 = 0,1, G = 0,5, c/R = 0,3; 0,4; 0,6; 0,9$ соответственно показаны на рис. 2, 3.

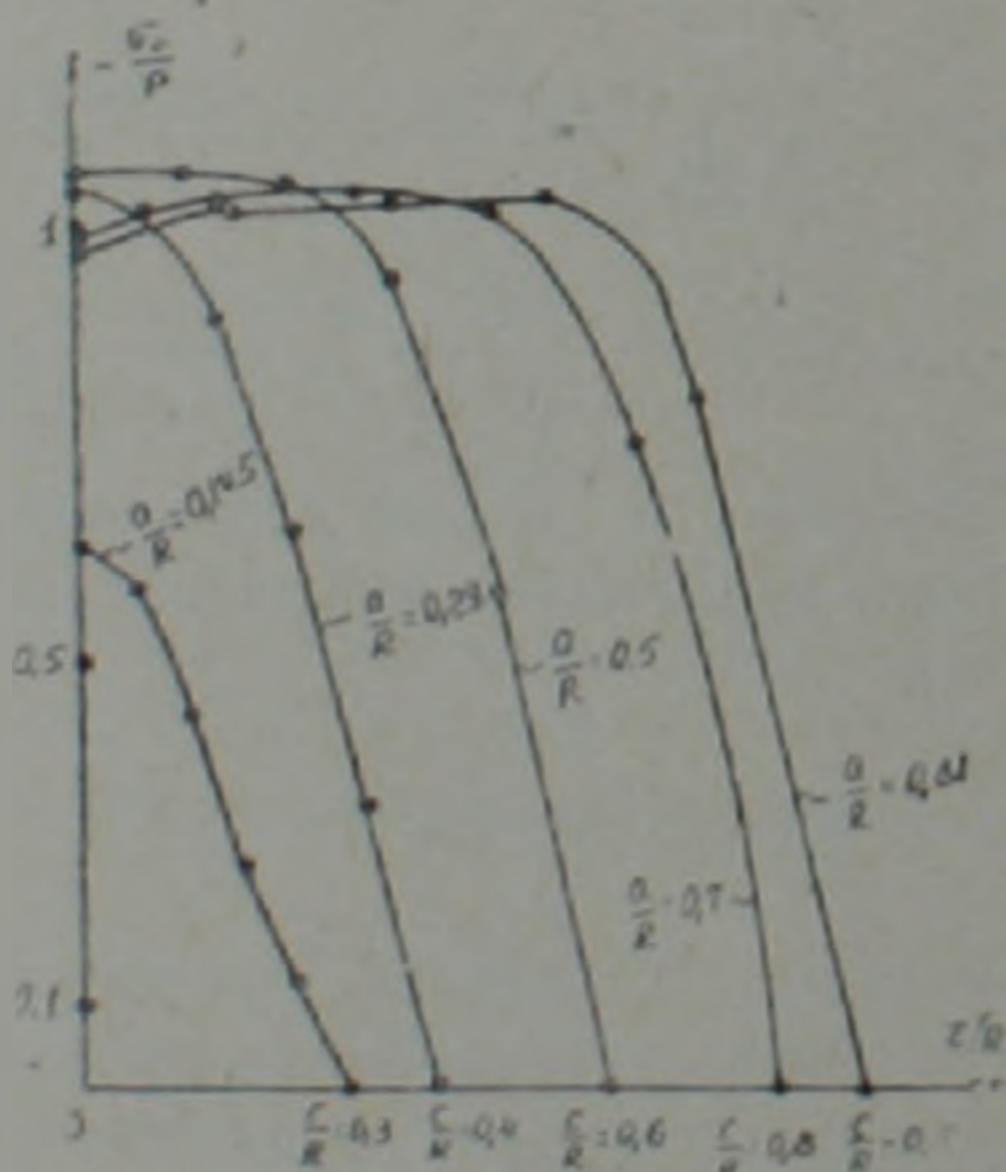


Рис. 2. Распределение нормального напряжения $\sigma_z(r, 0)$ на поверхности контакта двух цилиндров

На основании данных вычислений, часть которых приведена на рис. 2, 3 и в таблице, приходим к следующим заключениям.

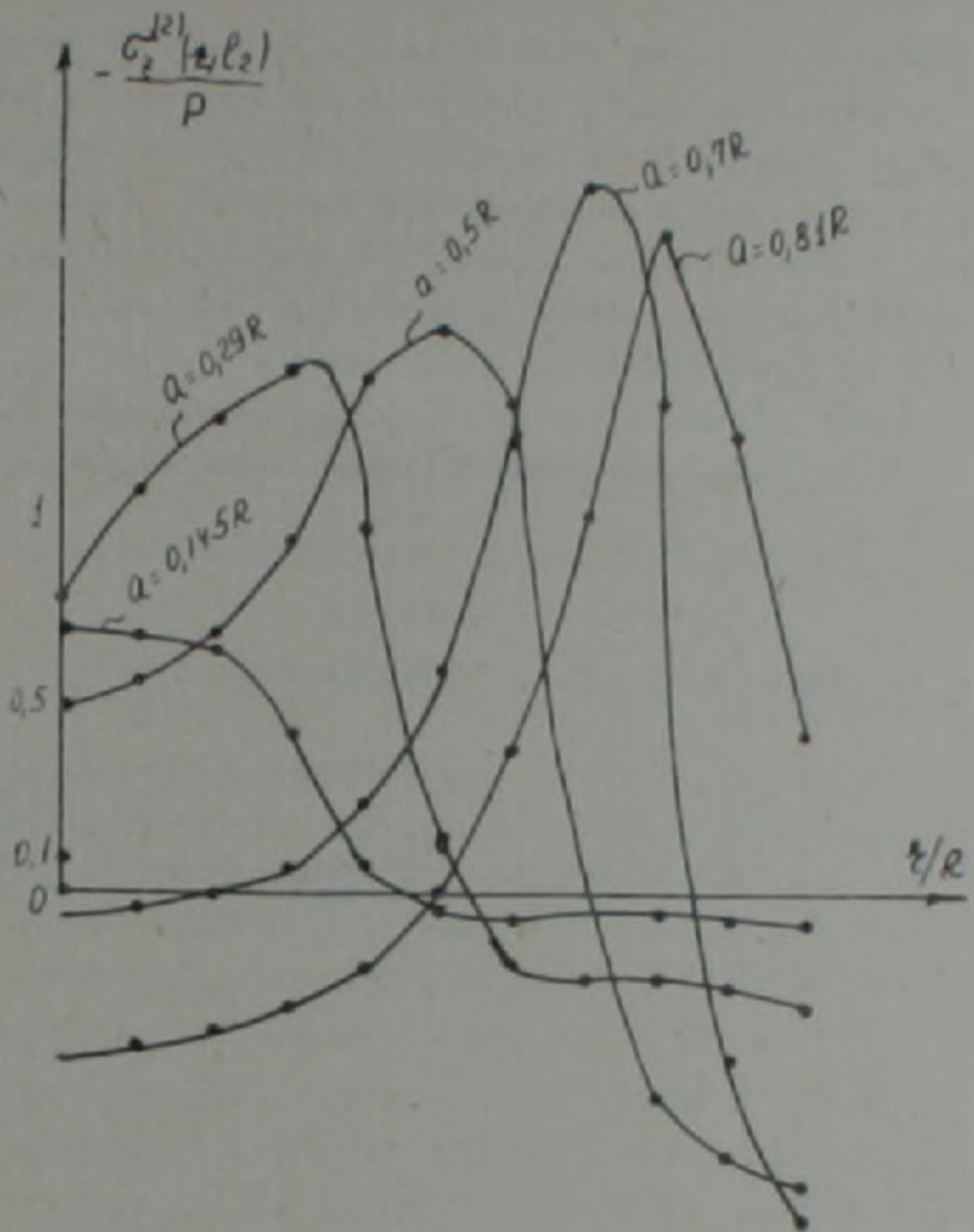


Рис. 3. Распределение напряжений $\sigma_z^{(2)}(r, l_2)$ на поверхности контакта между нижним цилиндром и основанием

Для больших значений c , в частном случае при полном контакте двух цилиндров, и при меньших значениях коэффициентов Пуассона ($\nu_1, \nu_2 < 0,15$) максимум нормального контактного напряжения смещен относительно центра контактной области, и вследствие этого в центральной части закрепленного торца нижнего цилиндра возникают растягивающие усилия, что в случае слабого сцепления может вызвать отрыв.

Երևանսկի քոլտեխնիսեսկի
նստտուտ նմ. Կ Մարկս

Ձ. Ա. ՄԱՐՏԻՐՈՍՅԱՆ

Երկու առաձգական վերջավոր զլանների ճամար մի կոնտակտային խնդրի մասին

Դիտարկվում է ճակատքներով հպված, տարրեր առաձգական հատկութիւններ միենույն տրամադժեր և վերջավոր երկարութիւններ ունեցող երկու շրջանային զլանների առաձգականության տեսության առանցքասիւնտրիկ

խնդիր. Կրթ գլաններից մեկը ներքևի ճակատով ամրացված է կոշտ հիմքին. նորմալ և շոշափող լարումները վերևի գլանի գլանային մակերևույթի վրա քաջակալում են, իսկ ներքևի գլանի գլանային մակերևույթի վրա նորմալ տեղափոխումները և շոշափող լարումները հավասար են զրոյի: Գլանների կոնտակտի տիրույթը ընդունվում է անհայտ և այն որոշվում է խնդրի լուծման ընթացքում: Խնդրի լուծումը ներկայացվում է Ֆուրյեի և Ֆուրյե-Գիլերի շարքերի միջոցով: 11-րդ շարքերի գործակիցների որոշման համար ստացվում է զծային հավասարումների անվերջ սիստեմ և Բեսսելի ֆունկցիաներ պարունակող զույգ շարք-հավասարումներ: Զույգ շարք-հավասարումների լուծումները հանգեցված են քվադրիտիկ ռեկուրյար զծային հանրահաշվական հավասարումների անվերջ սիստեմի լուծմանը: Բերված թվային օրինակներում որոշվում է կոնտակտի տիրույթի չափը և լարումները կոնտակտների մակերևույթների վրա:

ЛИТЕРАТУРА — ՉՐԱԿԱՆՈՒԹՅՈՒՆ

- ¹ Զ. Ա. Մարտիրոսյան, Известия АН АрмССР, Механика, т. 32, № 2 (1979).
² Բ. Լ. Աբրաмян, ДАН АрмССР, т. 19, № 1 (1954).
³ С. П. Тимошенко, Теория упругости, ОНТИ, М., 1937.
⁴ I. C. Cooke, C. I. Tranter, Journal of Mech. and Appl. Math., vol. 12, part 2, August, Oxford, (1959).
⁵ А. А. Баблюян, А. П. Мелконян, Известия АН АрмССР, Механика, т. 22, № 5 (1969).